

بررسی تطبیقی خشکسالی هواشناسی و هیدرولوژیکی در حوزه سراب صیدعلی

مهران لشنبی زند^۱, بهروز بروانه^۲, کیانفر پیامنی^۳, علیرضا سپهوند^۴

تاریخ دریافت: ۹۰/۰۲/۲۶

تاریخ پذیرش: ۹۱/۰۹/۴

چکیده

تجزیه و تحلیل خشکسالی‌ها در پیروزه‌های آب و همچنین بررسی ارتباط خشکسالی‌های هیدرولوژیکی و هواشناسی در مدیریت منابع آب از اهمیت بالایی برخوردار است. بهمین منظور در این پژوهش به بررسی تطبیق خشکسالی هواشناسی و هیدرولوژیکی در حوزه سراب صیدعلی طی یک دوره سی ساله از آمار روزانه دبی و بارش پرداخته شده است. برای داده‌های دبی ابتدا حداقل ماهانه دبی هر سال محاسبه شد، سپس با روش ویبول برآش و برای یک دوره صد ساله بسط داده شدند. سپس مقادیر متناظر با دوره بازگشت دو سال هر ماه به عنوان آستانه خشکسالی انتخاب شدند. مقادیر آستانه را برای داده‌های روزانه هر ماه در یک دوره سی ساله به کار برده و براساس آن‌ها شدت تداوم خشکسالی محاسبه شد. برای داده‌های بارش کلیه مراحل فوق محاسبه گردید، با این تفاوت که در تعیین شاخص خشکسالی هواشناسی از شاخص SPI استفاده شده است. در آخر بین مقادیر دبی و بارش با تأخیر ۱، ۲، ۳ روزه، همبستگی گرفته شد. نتایج به دست آمده نشان داد که رابطه مستقیم و معناداری بین دبی و بارش به صورت روزانه، ماهانه و فصلی وجود دارد و در هر سه حالت رابطه از سطح معناداری برخوردار بوده ولی مقدار همبستگی در داده‌های بدون تأخیر نسبت به بقیه بیشتر می‌باشد.

واژه‌های کلیدی: خشکسالی هیدرولوژیکی، حد آستانه، همبستگی، حوزه سراب صیدعلی

۱- استادیار پژوهشی مرکز تحقیقات کشاورزی و منابع طبیعی لرستان

۲- استادیار دانشگاه آزاد اسلامی واحد خرم آباد

۳- عضو هیئت علمی مرکز تحقیقات استان لرستان

۴- دانش آموخته رشته مهندسی آبخیزداری دانشگاه تربیت مدرس

مقدمه

دیدگاه هیدرولوژیست‌ها خشکسالی هیدرولوژیکی زمانی اتفاق می‌افتد که سطح تراز ذخایر آب‌های سطحی و زیرزمینی از حد معمول خود پایین‌تر باشد. خشکسالی کشاورزی زمانی اتفاق می‌افتد که رطوبت خاک از نیاز واقعی محصول کمتر باشد و منجر به خسارت در محصول شود. تعریف خشکسالی اقتصادی اجتماعی تلفیقی از عرضه و تقاضای برخی کالاهای اقتصادی با اجزاء خشکسالی هواشناسی، هیدرولوژیکی و کشاورزی است (Patel, et al, 2007). پیامد اثرات توأم با خشکسالی-های هواشناسی کشاورزی و هیدرولوژیک، تفاوت‌های آن‌ها را بیشتر آشکار می‌سازد. زمانی که خشکسالی آغاز می‌شود بخش کشاورزی به دلیل وابستگی بیش از حد به ذخیره رطوبتی خاک، معمولاً نخستین بخشی است که تحت تأثیر قرار می‌گیرد. در طی دوره‌های ممتد و خشکی چنان‌چه کمبود بارش ادامه یابد رطوبت خاک به سرعت تخلیه می‌شود. در این صورت اتکاء مردم به سایر منابع آبی باستی تأثیرات این کمبود را مرتفع سازد. در طی سال‌های که خشکسالی اتفاق می‌افتد خسارات مالی زیادی به مردم وارد می‌شود. برای جلوگیری از وقوع این خسارات ارائه شاخصی جهت پیش‌بینی خشکسالی ضروری است. در سال‌های گذشته شاخص‌های متعددی برای بررسی این پدیده معرفی شده است و هر کدام از این شاخص‌ها با یکی از انواع خشکسالی مرتبط بوده است (Mendicino et al, 2008). یکی از این شاخص‌ها، شاخص بارش استاندارد^۱ (SPI) می‌باشد، بسیاری از محققین خشکسالی، به قابلیت انعطاف پذیری SPI و قابلیت آن Hayes et al, 1999 برای هر مقیاس زمانی اذعان داشته‌اند (FerajZadeh, 1996). شاخص SPI برای هر منطقه براساس ثبت بارندگی‌های طولانی مدت آن محاسبه می‌شود Khan et al, Hosseini Safa & Morid, 2008). مطالعات زیادی در مورد خشکسالی صورت گرفته است که در این بخش به تعدادی از آن‌ها اشاره می‌شود. لشنجند (۱۳۸۳) در مطالعه‌ای به بررسی تداوم، شدت و فراوانی خشکسالی‌های هواشناسی و هیدرولوژیک در شش حوضه واقع در غرب و شمال غرب کشور با استفاده از سری‌های زمانی شاخص بارش استاندارد پرداخت. در این تحقیق برای تمامی ایستگاه‌ها شدت متوسط خشکسالی استخراج گردید. نتایج این تحقیق نشان داد که وقوع

خشکسالی یکی از بلایای طبیعی است که به‌طور بالقوه وقوع آن تحت هر رژیم بارش و دمایی امکان‌پذیر است. این رخداد در بین بلایای طبیعی به آهستگی، تدریجی، برگشت‌پذیر و گاه به سرعت آثار خود را آشکار می‌کند، خشکسالی غالباً به عنوان یک پدیده خزنده تلقی می‌شود (Tsakiris & Vangelis, 2004; Patel, et al, 2007). برخلاف سیل و بارندگی پیش‌بینی زمان شروع و خاتمه خشکسالی بسیار دشوار می‌باشد. ممکن است هفت‌ها یا ماه‌ها طول بکشد تا واقعاً بتوان تشخیص داد که خشکی اتفاق افتاده یا خیر، یا مدت‌ها پس از شروع بارندگی‌ها باز هم اثرات خشکسالی وجود داشته باشد (Alizadeh, 2006). خشکسالی یک ویژگی اقلیمی است که در تمامی مناطق اقلیمی رخ می‌دهد، اگرچه ویژگی‌های آن از یک منطقه با منطقه دیگر متفاوت است. وقوع خشکسالی و خیم‌ترین حادثه محیطی است که دارای ویژگی‌های خاص اقلیمی و هیدرولوژیکی در هر ناحیه می‌باشد (Samiee et al, 2006). امروزه خشکسالی هیدرولوژیکی به‌علت توسعه شهرسازی، صنعتی شدن و کمبود آب شرب، کشاورزی و صنعت در بخش‌های زیادی از جهان به‌صورت مسئله پیچیده‌ای درآمده است. به‌طور کلی این نوع خشکسالی‌ها با کاهش جریان رودخانه‌ها، دریاچه‌ها، پایین آمدن سطح آب مخازن، آب زیرزمینی و... ارتباط پیدا می‌کند (FerajZadeh, 1996). از بین تعاریف مختلفی که برای خشکسالی ارائه شده است می‌توان به تعریف پالمر ۱۹۶۵ که از جامع‌ترین آن‌هاست اشاره کرد. وی خشکسالی را عبارت از کمبود مستمر و غیرطبیعی رطوبت در یک دوره زمانی (ممولاً یک سال) می‌داند (Palmer, 1965). تحلیل‌های آماری که امروزه در مورد خشکسالی‌ها به کار برده می‌شود براساس تئوری توالی که توسط یوچویچ ارائه شد استوار است در این روش با تقسیم دوره آماری به دو دوره بیشتر یا کمتر از میانگین، دوره‌هایی که مقدار متغیر مورد نظر پایین‌تر از میانگین است به عنوان خشکسالی در نظر گرفته می‌شود. تشخیص انواع مختلف خشکسالی برای توسعه مکانیزم مقابله با خشکسالی بسیار مهم می‌باشد، طبق نظر Glantz و Wilhite (1985) خشکسالی هواشناسی معمولاً براساس کمبود بارش (در مقایسه با مقدار نرمال یا میانگین) و طول دوره مشخص تعریف می‌شود. از

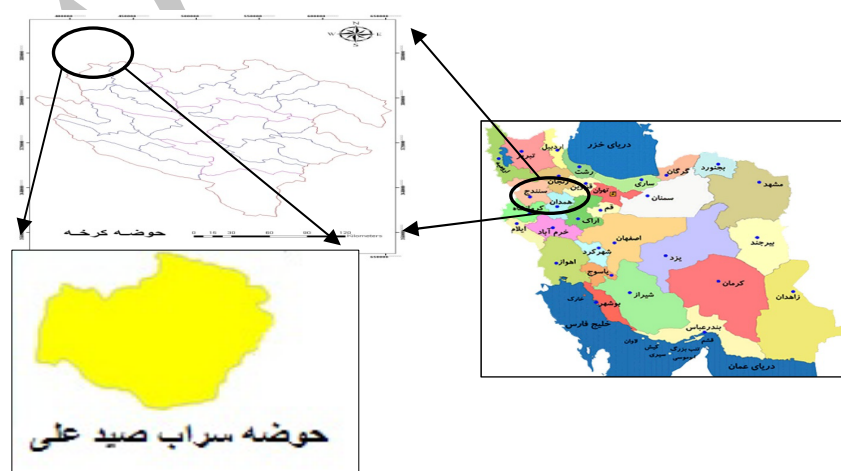
^۱ Standardized Precipitation Index

روزانه مورد بررسی قرار داده است. هدف از تحقیق حاضر بررسی تطابق خشکسالی هواشناسی و هیدرولوژیکی حوزه سراب صیدعلی می‌باشد. تعیین همبستگی بین خشکسالی هواشناسی و هیدرولوژیکی، بررسی تغییرات روزانه، ماهانه، سالانه میزان دمی و بارش حوزه سراب صیدعلی و در نهایت بررسی شدت، تداوم و فراوانی انواع خشکسالی هواشناسی و هیدرولوژیکی در حوزه از اهداف کلی انجام می‌گیرد.

منطقه مو, د مطالعه

منطقه مورد مطالعه با وسعتی معادل ۷۷۳ کیلومتر مربع، حدود هشت درصد از وسعت کشکان را در بر گرفته که محیط آن ۱۳۲ کیلومتر است. از نظر موقعیت جغرافیایی بین $12^{\circ} 48'$ طول شرقی و $47^{\circ} 33'$ عرض شمالی مطابق شکل ۱ در سلسله جبال زاگرس قرار دارد. این منطقه در شمال غربی خرمآباد و در بالا دست رو دخانه دوآب الشتر واقع شده است. شاخه اصلی این رو دخانه بهمن کهمان از یال جنوبی ارتفاعات گرین و از یک مخزن آهکی سرچشم می گیرد. لازم به ذکر است که در دامنه شمالی این ارتفاعات سراب گاماسیاب و چشمدهای ونانی قرار دارد. رو دخانه دوآب الشتر پس از طی مسیر خود با سراب صید علی و شاخه کاکارضا تلاقي و تشکیل رو دخانه کشکان را می دهد. این حوزه تقریباً در جنوب الشتر واقع شده است.

خشکسالی با تداوم یک تا سه ماه، حتی در ایستگاه‌های واقع در مناطق نیمه مرطوب پدیده‌های معمول و بازگشت کننده است. در آخر نقشه‌های پهنه‌بندی خشکسالی سالانه با به‌کارگیری اعداد استاندارد شده بارش و برپایه طبقه‌بندی درجه شدت خشکسالی، با استفاده از نرم افزار ILWIS ترسیم گردید. مظفری (۱۳۸۴) به بررسی و مقایسه عدم تطابق روند خشکسالی هواشناسی و خشکسالی هیدرولوژیکی در دو حوزه آبریز هم‌جوار در دامنه شمالی شیرکوه یزد پرداخت. در ابتدا خشکسالی هواشناسی با استفاده از روش گیپس موهر و خشکسالی هیدرولوژیکی با استفاده از روش نمره استاندارد Z محاسبه شد، در ادامه نیز وجود یا عدم وجود روند خشکسالی هواشناسی و هیدرولوژیکی با استفاده از تحلیل همبستگی در سطح دو حوزه آبریز اسلامیه و فخرآباد واقع در دامنه شمالی شیرکوه یزد مورد بررسی قرار گرفت. نتایج حاصله حاکی از تفاوت‌های چشمگیر بین دو نوع خشکسالی می‌باشد. Tallaksen و Hisdal (۲۰۰۰) جهت تشخیص و بررسی خشکسالی هیدرولوژیکی در اروپا از روش حد آستانه با داده‌های روزانه جريان استفاده و به تحليل منطقه‌ای موضوع پرداختند. نتایج آن‌ها نشان داد که برای داده‌های ماهانه یا روزانه، حد آستانه بین صدک ۹۰ م و ۷۰ م منحنی تداوم جريان می‌باشد. در اکثر تحقیقات صورت گرفته در این زمینه، خشکسالی در شرایط ماهانه و سالانه به دست آمده است. اما این تحقیق خشکسالی را به صورت



شکل(1): موقعیت چهار افایا، منطقه مورد مطالعه

روش تحقیق

بررسی آمار بارندگی حوزه نشان می‌دهد که طی سالیان گذشته در حوزه خشکسالی‌هایی رخ داده و باعث خشکی و کاهش آب دهی آبهای سطحی منطقه گردیده است. در این تحقیق بهمنظور تعیین خشکسالی هواشناسی، هیدرولوژیکی و بررسی اثرات این خشکسالی‌ها بر آبهای سطحی حوضه سراب صیدعلى از آمار بلند مدت ۳۰ ساله از سال آبی ۵۷-۸۶ تا ۸۵-۵۶ است. برای بالا بردن دقت کار و عملی‌تر شدن آن، آمار بلند مدت بارش و دبی این حوضه بهصورت روزانه مورد استفاده قرار گرفت. در این تحقیق آمار بارش از ایستگاه سراب صیدعلى الشتر و آمار دبی روزانه نیز از ایستگاه هیدرومتری سراب صیدعلى تهیه شد. جهت بررسی درستی و همگنی داده‌ها، ابتدا داده‌های روزانه بارش ایستگاه سراب صیدعلى الشتر در قالب یک بانک اطلاعاتی در محیط نرم افزاری Excel وارد شدند. در تنظیم داده‌ها، سال‌های کبیسه در طول دوره آماری مد نظر قرار گرفتند و داده‌ها در این رابطه نیز اصلاح گردند، همگنی داده‌ها مورد بررسی قرار گرفت و از وضعیت قابل قبولی برخوردار بودند. تحقیق بهطور کلی در سه مرحله صورت گرفته است: بررسی و تحلیل بر روی داده‌های دبی، بررسی و تحلیل بر روی داده‌های بارش و نهایتاً همبستگی گرفتن میان داده‌های بارش، دبی و مقایسه آن‌ها. برای داده‌های دبی در محیط آماری SPSS ابتدا حداقل ماهانه دبی هر سال را محاسبه و سپس با روش ویبول برای یک دوره ۱۰۰ ساله بسط داده شدند. آنگاه آن‌ها را استاندارد کرده و مقادیر متناظر با دوره بازگشت دو سال هرماه (به‌خاطر دارا بودن بیشترین فراوانی وقوع و نزدیک بودن به مقدار متوسط) را بهعنوان شاخص آستانه خشکسالی انتخاب نموده که در جدول ۱ نشان داده شده است.

نتایج

برای داده‌های دبی ابتدا از بانک اطلاعاتی حاوی داده‌های روزانه در محیط نرم افزار آماری SPSS مقادیر حداقل هر ماه برای یک دوره ۳۰ ساله محاسبه شدند. خروجی شامل ۳۰ مقدار حداقل برای هر ماه است. سپس مقادیر حداقل‌های ماهانه هر ماه بهطور مجزا در صفحه گستردۀ نرم افزار آماری MINITAB وارد گردیدند و با توزیع آماری ویبول برازش داده شدند. خروجی شامل مقادیر پیش‌بینی شده حداقل‌های ماهانه در دو حد بالا و پائین در سطح احتمال ۹۵ درصد برای یک دوره بازگشت ۱۰۰ ساله می‌باشد. در ادامه آن‌ها را استاندارد کرده و مقادیر متناظر با دوره بازگشت دو سال هرماه (به‌خاطر دارا بودن بیشترین فراوانی وقوع و نزدیک بودن به مقدار متوسط) را بهعنوان شاخص آستانه خشکسالی انتخاب نموده که در جدول ۱ نشان داده شده است.

جدول (۱): مقادیر آستانه بدست آمده برای دوره بازگشت دو سال

| شهریور | مرداد | تیر | خرداد | اردیبهشت | فروردین | ماههای سال | Z |
|--------|--------|--------|--------|----------|---------|------------|---|
| -۰/۰۴۳ | -۰/۰۳۷ | -۰/۱۰۸ | -۰/۲ | -۰/۲۹۲ | -۰/۱۷۳ | ماههای سال | Z |
| اسفند | بهمن | دی | آذر | آبان | مهر | ماههای سال | Z |
| -۰/۰۷۸ | -۰/۰۰۳ | -۰/۰۰۶ | -۰/۱۳۹ | -۰/۰۷ | -۰/۰۴۴ | ماههای سال | Z |

سرانجام تمامی مقادیر به دست آمده را بر حسب ستون تداوم مرتب کرده و سپس رکوردهای فاقد اعداد تداوم حذف شد، مطابق جدول ۲ آن‌چه باقی‌مانده است مقادیر شدت و خامت خشکسالی در تداوم‌های مختلف است.

آستانه‌های بدست آمده را در فرمول تعیین خشکسالی برای داده‌های روزانه به کار برد و هر جا که مقادیر استاندارد شده دبی از مقدار آستانه استاندارد شده کمتر است به عنوان روز خشک تعیین شد. از جمع مقادیر روزهای خشک و خامت خشکسالی^۱ و از تقسیم مقدار و خامت بر تعداد روزهای خشک شدت خشکسالی^۲ به دست می‌آید.

^۱ - Severity drought
^۲ - Intensity drought

جدول(۲): شدت و خامت خشکسالی هیدرولوژیک در برخی از تداوم های مختلف

| شدت | تداوم روزه ۲ | و خامت | شدت | تداوم روزه ۵ | و خامت | شدت | تداوم روزه ۱۵ | و خامت | شدت | تداوم روزه ۳۰ | و خامت |
|--------|-----------------|--------|--------|-----------------|---------|--------|------------------|--------|--------|------------------|--------|
| -۰/۴۷۲ | -۰/۹۴۴ | -۰/۳۵۲ | -۱/۷۵۸ | -۰/۷۸۲ | - | -۰/۷۳۵ | - | -۰/۶۵۴ | - | ۱۹/۶۲۳ | - |
| -۰/۳۴۲ | -۰/۶۸۳ | -۰/۱۸۶ | -۰/۹۳۱ | -۰/۷۱۱ | - | -۰/۶۶۹ | - | -۰/۴۷۱ | - | ۱۴/۱۲۱ | - |
| -۰/۰۰۶ | -۰/۰۱۲ | -۱/۳۰۸ | -۶/۵۴۲ | -۰/۴۰۲ | -۶/۰۲۶ | -۰/۴۰۵ | -۶/۰۷۵ | -۰/۲۹۸ | -۸/۹۴۲ | - | - |
| -۰/۳۲ | -۰/۶۳۹ | -۰/۴۵ | -۲/۲۵۲ | -۰/۴۰۵ | -۰/۶۰۷۵ | -۰/۴۰۵ | -۰/۶۶۵ | -۰/۶۶۵ | - | ۱۹/۹۳۶ | - |
| -۰/۱۶۷ | -۰/۳۳۵ | -۵/۵۱۷ | -۷/۵۸۴ | -۰/۲۶۳ | -۳/۹۴۱ | -۰/۵۳۳ | - | - | - | ۱۵/۹۹۸ | - |
| -۰/۲۶۴ | -۰/۵۲۷ | -۰/۵۴۳ | -۲/۷۱۶ | -۰/۸۲۴ | - | ۱۲/۳۵۶ | -۰/۱۸۶۷ | - | - | ۲۶/۰۲۵ | - |
| -۰/۱۳۹ | -۰/۲۷۷ | -۰/۱۴۴ | -۰/۷۲ | -۱/۲۴۹ | -۱/۸۷۴ | -۱/۲۴۴ | - | - | - | ۳۷/۳۳۴ | - |
| -۰/۲۱۵ | -۰/۴۲۹ | -۱/۷۹۴ | -۸/۹۶۸ | -۱/۶۹۳ | -۲۵/۴۰۲ | -۰/۵۴۱ | - | -۰/۵۴۱ | - | ۱۶/۲۳۲ | - |
| -۰/۱۰۲ | -۰/۲۰۵ | -۰/۸۵۹ | -۴/۲۹۴ | - | - | - | -۰/۷۸۶ | - | - | ۲۳/۵۶۵ | - |
| -۰/۱۰۲ | -۰/۲۰۵ | -۱/۰۵۹ | -۵/۲۹۷ | - | - | -۰/۹۱۳ | - | - | - | ۲۷/۳۸۲ | - |
| -۰/۰۵۸ | -۰/۱۱۷ | -۰/۲۲۷ | -۱/۱۳۳ | - | - | -۱/۲۸۲ | - | - | - | ۳۸/۴۶۶ | - |
| -۰/۰۸۸ | -۰/۱۷۶ | -۰/۱۲۶ | -۰/۶۲۹ | - | - | -۱/۱۷۱ | - | - | - | ۳۵/۱۴۵ | - |
| -۰/۰۵۰ | -۱/۰۰۴ | -۰/۴۷۹ | -۱/۳۹۳ | - | - | -۰/۷۶۱ | - | - | - | ۲۲/۸۳۸ | - |
| -۰/۴۲۶ | -۰/۸۵۲ | - | - | - | - | -۱/۲۶۲ | - | - | - | ۳۷/۸۵۶ | - |
| -۰/۹۵۸ | -۱/۹۱۵ | - | - | - | - | - | - | - | - | - | - |
| -۰/۰۴۴ | -۰/۰۸۸ | - | - | - | - | - | - | - | - | - | - |
| -۰/۰۴۴ | -۰/۰۸۸ | - | - | - | - | - | - | - | - | - | - |
| -۰/۲۶۳ | -۰/۵۲۶ | - | - | - | - | - | - | - | - | - | - |
| -۰/۰۷۱ | -۱/۱۴۲ | - | - | - | - | - | - | - | - | - | - |
| -۰/۲۸۱ | -۰/۰۵۶۲ | - | - | - | - | - | - | - | - | - | - |
| -۰/۰۷ | -۰/۱۳۹ | - | - | - | - | - | - | - | - | - | - |
| -۰/۶۸۲ | -۱/۱۶۴ | - | - | - | - | - | - | - | - | - | - |
| -۱/۶۹۸ | -۳/۳۹۶ | - | - | - | - | - | - | - | - | - | - |
| -۰/۶۰۸ | -۱/۲۱۷ | - | - | - | - | - | - | - | - | - | - |
| -۱/۲۹ | -۲/۵۸ | - | - | - | - | - | - | - | - | - | - |
| -۰/۸۴۴ | -۱/۶۸۸ | - | - | - | - | - | - | - | - | - | - |
| -۰/۳۷۳ | -۰/۷۴۶ | - | - | - | - | - | - | - | - | - | - |
| -۰/۲۵۷ | -۰/۵۱۴ | - | - | - | - | - | - | - | - | - | - |
| -۰/۱۵۱ | -۰/۳۰۱ | - | - | - | - | - | - | - | - | - | - |

بر این اساس در منوی Probability Plot از نرم افزار MINITAB، با استفاده از توزیع احتمالی ویبول اقدام به برآورد مقادیر شدت خشکسالی هر یک از تداومها برای دوره بازگشت های ۲-۵-۱۰-۲۵-۵۰ و ۱۰۰ ساله مطابق جدول ۳ گردید. به منظور تشریح بیشتر جدول و خامت، تداوم و فراوانی خشکسالی، باید اضافه نمود مقادیر عددی برآورد شده برای تداومهای دو تا سی روزه نشانگر و خامت خشکسالی در آن تداوم میباشند. برای مثال شاخص $744/0$ - نمایانگر حداکثر و خامت خشکسالی با تداوم دو روزه میباشد که در دوره بازگشت ۲ سال ممکن است در این ایستگاه رخ دهد. یا شاخص $4/9$ - بیانگر حداکثر و خامت خشکسالی با تداوم چهار روزه است که در دوره بازگشت ۱۰۰ ساله ممکن است روی دهد.

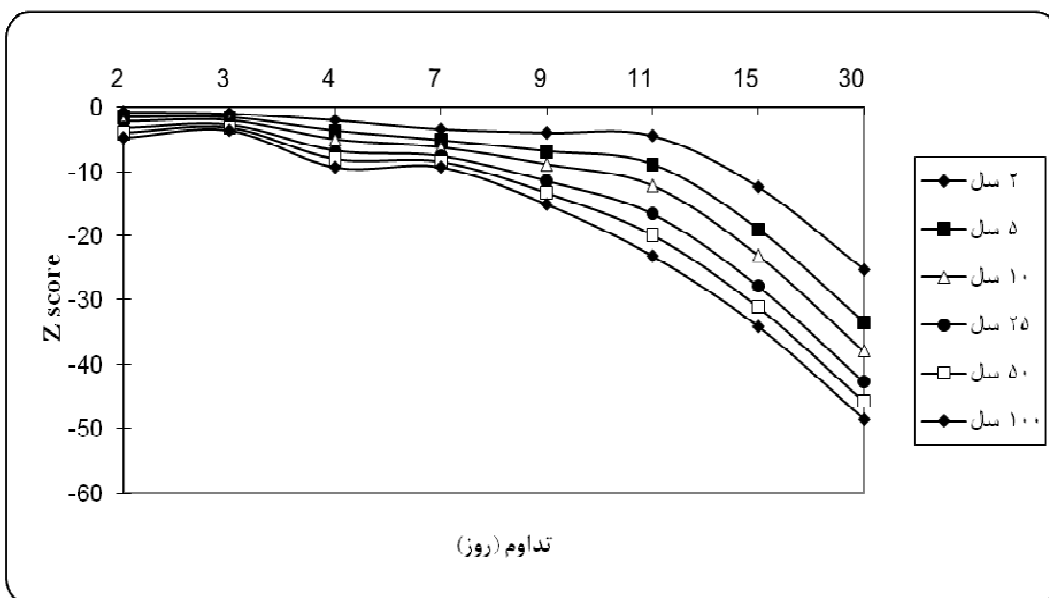
بهمنظور تحلیل نتایج کار میباشد شدت تداوم و فراوانی خشکسالی با دوره بازگشت مختلف محاسبه شود که با استبداده از توزیع ویبول و بهوسیله نرم افزار Minitab مطابق جدول ۳ این دورههای بازگشت دو تا صد ساله محاسبه گردید. پس از تعیین شدت خشکسالی با تداوم های مختلف به منظور تحلیل فراوانی وقوع رخدادهای خشکسالی در دوره بازگشت های مختلف از توزیع های آماری مناسب استفاده گردید. از توزیع هایی که توسط ماتلاس به عنوان توزیع مناسب برای تحلیل مقادیر کم (جريان کم) در نظر گرفته شده، توزیع اکستريم نوع ۳ یا توزیع ویبول است (Thompson ۱۹۹۹). در تحقیقات دیگری که توسط تامپسون (1999) انجام شده، مشخص گردید که توزیع احتمالی تیپ سه گمبیل (که توزیع ویبول نیز نامیده میشود) با ارقام سری های حداقل سالانه مطابقت مناسبی دارد.

جدول (۳): برآورد و خامت، تداوم و فراوانی خشکسالی های هیدرولوژیکی با استفاده از توزیع ویبول در طی ۳۰ سال به صورت روزانه

| | دو ساله | پنج ساله | ده ساله | بیست و پنج ساله | پنجاه ساله | صد ساله |
|---------------|---------|----------|---------|-----------------|------------|---------|
| تداوم ۲ روزه | -۰/۷۴۴ | -۱/۶۱ | -۲/۳۰۷ | -۳/۲۷ | -۴/۰۳ | -۴/۸۲ |
| تداوم ۳ روزه | -۰/۹۶۱ | -۱/۶۴ | -۲/۱۳۶ | -۲/۷۶ | -۳/۲۳ | -۳/۶۸ |
| تداوم ۴ روزه | -۲/۰۰۲ | -۳/۷۵ | -۵/۰۵۷ | -۶/۷۸ | -۸/۰۹ | -۹/۴ |
| تداوم ۵ روزه | -۴/۳۰۶ | -۱۰/۴ | -۱۵/۷ | -۲۳/۳ | -۲۹/۴ | -۳۵/۹ |
| تداوم ۱۵ روزه | -۱۲/۳۹ | -۱۹/۰۳ | -۲۳/۱ | -۲۷/۸ | -۳۱/۱۱ | -۳۴/۱۶ |
| تداوم ۳۰ روزه | -۲۵/۲ | -۳۳/۵۳ | -۳۷/۹۶ | -۴۲/۷۲۷ | -۴۵/۸ | -۴۸/۵۵ |

بازگشت های مختلف، مطابق شکل ۲ منحنی های و خامت، تداوم و فراوانی خشکسالی هیدرولوژیکی ترسیم شدند.

پس از این مرحله جهت درک سریع تر و کامل تر چگونگی تغییرات شدت و تداوم خشکسالی در دوره



شکل (۲): منحنی و خامت- تداوم و فراوانی خشکسالی هیدرولوژیک حوضه سراب صید علی با میانگین‌های ۱ روزه

نتایج همبستگی نشان داد که در همهٔ این سال‌ها همبستگی معنادار است. توضیحات کامل این مرحله در جدول ۴ آمده است. در این جدول سطح معناداری، مقدار همبستگی، مقدار همبستگی با تأخیر یک روزه، دو روزه و سه روزه سال آبی آمده است.

در مرحله بعد برای داده‌های بارش کلیه مراحل بالا صورت گرفت با این تفاوت که در تعیین خشکسالی از شاخص SPI استفاده شد. در نهایت در ادامه کار بین دبی و بارش به صورت سال به سال و با آمار روزانه همبستگی گرفته شد به صورت ماهانه طی سی سال و همچنین به صورت فصلی نیز بین دبی و بارش همبستگی گرفته شد.

جدول (۴): مقایسه میزان همبستگی بین دبی و بارش به صورت روز به روز و با میانگین سالانه

| | مقدار همبستگی | سطح معنی | سیگما داری |
|--------------|---------------|----------|------------|
| نرمال | ۰/۳۳۱ | ۰/۰۱ | ۰/۰۰۹ |
| تأخیر ۱ روزه | ۰/۲۷۸ | ۰/۰۱ | ۰/۰۰۵۹ |
| تأخیر ۲ روزه | ۰/۲۰۱ | ۰/۰۱ | ۰/۰۱۸۴ |
| تأخیر ۳ روزه | ۰/۱۷۶ | ۰/۰۱ | ۰/۰۴۴۱ |

ساله بین دبی و بارش همبستگی گرفته شد و مشخص گردید که در ماه‌های بهمن، اسفند، فروردین، اردیبهشت و آبان همبستگی در سطح ۹۹٪ معنادار می‌باشد. ولی مطابق جدول ۵، پنج ماه خشک (خرداد، تیر، مرداد، شهریور و مهر) اصلاً معنادار نبوده‌اند. علاوه بر آن‌ها در آذر و دی ماه از همبستگی معناداری برخوردار نبوده است.

نتایج همبستگی بین دبی و بارش با تأخیر یک، دو و سه روزه دبی در جدول ۴ نشان داده شده است، این نتایج نشان داد که هر چقدر تأخیر بیشتر می‌شود از شدت همبستگی کاهیده می‌شود. به طوری که بیشترین همبستگی مربوط به نرمال و کمترین همبستگی متعلق به تأخیر ۳ روزه می‌باشد. در ادامه به صورت ماهانه با آمار ۳۰

جدول (۵): مقایسه میزان همبستگی بین دبی و بارش به صورت روز به روز و با میانگین ماهانه

| ماه | Pearson Correlation | Sig. (2-tailed) | N | significant at the 0.01 level (2-tailed). |
|----------|---------------------|-----------------|----|---|
| فروردین | -0.231 | 0.218 | ۳۰ | ** |
| اردیبهشت | -0.744 | 0.239 | ۳۰ | ** |
| خرداد | -0.271 | 0.146 | ۳۰ | |
| تیر | . | . | ۳۰ | |
| مرداد | . | . | ۳۰ | |
| شهریور | . | . | ۳۰ | |
| مهر | -0.225 | 0.229 | ۳۰ | |
| آبان | -0.632 | 0.0001 | ۳۰ | ** |
| آذر | -0.217 | 0.248 | ۳۰ | |
| دی | -0.159 | 0.4006 | ۳۰ | |
| بهمن | -0.565 | 0.001 | ۳۰ | ** |
| اسفند | -0.621 | 0.0002 | ۳۰ | ** |

زمستان و بهار همبستگی در سطح بالای معنادار می-باشد، اما در فصل تابستان به علت خشکی اصلاً معنادار نیست.

در ادامه انجام تحقیق به صورت فصلی بین دبی و بارش همبستگی گرفته شد که نتایج در جدول ۶ آورده شده است. مطابق این نتایج مشخص شد که در فصول پاییز،

جدول (۶): مقایسه میزان همبستگی بین دبی و بارش به صورت روز به روز و با میانگین فصلی

| فصل | Pearson Correlation | Sig. (2-tailed) | N | significant at the 0.01 level (2-tailed). |
|---------|---------------------|-----------------|----|---|
| بهار | -0.643 | . | ۹۰ | ** |
| تابستان | -0.109 | 0.305 | ۹۰ | |
| پائیز | -0.485 | 0.00001 | ۹۰ | ** |
| زمستان | -0.506 | 0.00003 | ۹۰ | ** |

سری زمانی سی ساله حد آستانه خشکسالی تعیین شود. این حد آستانه برای هر ماه از سال یک مقدار متمایز را ارائه می‌کند و از این حیث این تحقیق نسبت به سایر کارهای مشابه از خصوصیت بارزی برخوردار است و تا حدی نتایج را به واقعیت نزدیکتر می‌نماید. در رابطه با همبستگی دبی با بارش می‌توان گفت که برای داده روزانه در سطح ۹۵ درصد این دو متغیر با هم همبستگی مثبت و معناداری را نشان می‌دهند ولی میزان همبستگی از قوت زیادی برخوردار نیست. یکی از دلایل این امر نوع بارش غالب (به صورت برف) در بعضی از ماههای سال است. بین دبی و بارش با تأخیر یک، دو و سه روزه دبی همبستگی گرفته شد، نتایج نشان می‌دهد که هر چقدر تأخیر بیشتر می‌شود از شدت همبستگی کاهیده می‌شود، ولی مقدار همبستگی در داده‌های بدون تأخیر نسبت به بقیه بیشتر می‌باشد. دلیل این امر کوچک بودن حوزه و نزدیک بودن

بحث و نتیجه گیری

این تحقیق بررسی رابطه بین خشکسالی‌های هواشناسی و هیدرولوژیک است، بنابراین برای انجام این کار نیاز به استفاده از شاخص‌های مناسب جهت تعریف خشکسالی می‌باشد. بیشتر روش‌ها خشکسالی را معمولاً با تعیین یک سطح آستانه و مقایسه مقادیر یک مقطع زمانی (روزانه، ماهانه، فصلی و سالانه) با سطح آستانه تعیین می‌نمایند. انتخاب سطح آستانه مناسب یکی از چالش‌های فرا روی افرادی است که با این شاخص‌ها کار می‌کنند. در کارهای انجام گرفته در داخل کشور معمولاً با ارجاع به منابع موجود در ادبیات تحقیق یک مقدار عددی را به عنوان سطح آستانه تعیین می‌کنند. در این تحقیق سعی شده در تعیین خشکسالی‌های هیدرولوژیک به جای استفاده از شاخص‌های تجربی موجود، از پردازش آماری داده‌های روزانه و با تکیه بر مقادیر حداقل دبی در یک

بهار همبستگی در سطح بالای معنادار می‌باشد، اما در فصل تابستان به علت خشکی اصلاً معنادار نیست. با توجه به حجم داده‌های روزانه با آمار بلند مدت سی ساله و نتایجی که از این تحقیق به دست آمده، امید است این تحقیق بتواند برنامه‌ریزان و مدیران را در جهت حل بحران ناشی از کمبود آب و برنامه‌ریزی جهت مصرف بهینه آب کمک کند. چه بسا فقر مدیریتی بیشتر از فقر اقلیمی می‌تواند و خامت خشکسالی را افزایش دهد چون هرچه خسارات خشکسالی در کشوری بیشتر باشد نشان دهنده‌ی کم رنگ بودن آموزه‌ها می‌باشد.

زمان تمرکز آن با دوره‌های کمتر از یک روز می‌باشد، که این مورد با نتایج مظفری (۱۳۸۵) مغایرت دارد. در بخش دیگر تحقیق به صورت ماهانه با آمار ۳۰ ساله بین دبی و بارش همبستگی گرفته شد. در ماههای بهمن، اسفند، فروردین، اردیبهشت و آبان همبستگی در سطح ۹۹٪ معنادار می‌باشد ولی پنج ماه خشک (خرداد، تیر، مرداد، شهریور و مهر) اصلاً معنادار نبوده‌اند. علاوه بر آن‌ها در آذر و دی ماه نیز به دلیل بارش برف از همبستگی معناداری بر خوردار نبوده است. در ادامه کار به صورت فصلی بین دبی و بارش همبستگی گرفته شد که در فصول پاییز، زمستان و

منابع

1. Alizadeh, A. 2006. Applied hydrology, Ferdowsi university of Mashhad, 734pp. (in farsi)
2. FerajZade, M. 1996. Analysis and prediction of Drought in Iran, Phd thesis, Tarbiat Modares university, Climate group. (in farsi)
3. Hayes, M.J., M.D. Svoboda., D.A. Wilhite and O.V. Vanyarkho. 1999. Monitoring the 1996 Drought Using the Standardized Precipitation Index, Bulletin of the American Meteorological Society, 80(3):429-438.
4. Hisdal, H., and L.M. Tallaksen. 2000. Chelegesin drought Event definition, Assessment of the Regional Impact of Drought in Europe, Technical Report NO 6.
5. Hosseini Safa, H., and S. Morid 2008. Probabilistic analysis of spatial-temporal characteristics of droughts severity in Tehran Province, J. Agric. Sci. Nature Resource, 15(5): 1-11.
6. Khan, S., H.F. Gabriel., and T. Rana. 2008. Standard precipitation index to track drought and assess impact of rainfall on watertables in irrigation areas, Irrig Drainage System, 22:159–177.
7. Lashani Zand, M., and A. Telvari. 2004. An Investigation on Climatological Droughts and it's Prediction of Feasibility in Six Basins in West and North West of Iran, Geographical Research, 19(1(72)):73-86.(in farsi)
8. Menicino, G., and P. Alfonso,. 2008. A Groundwater Resource Index (GRI) for drought monitoring and forecasting in a Mediterranean climate, Journal of Hydrology, 282-302.
9. Mozafari, Gh., 2005. Mismatch of meteorological and hydrological droughts in two neighboring catchment on the northern slopes of Yazd Shirkooh, Homan Sciences Modares, 10(48):173-190.(in farsi)
10. Palmer, W.C. 1965. Meteorological Drought. US Department of Commerce Weather Bureau, Washington, DC. Research Paper No. 45.
11. Patel N. R., P. Chopra., and V. K. Dadhwal., 2007. Analyzing spatial patterns of meteorological drought using standardized precipitation index, Meteorological Applications, 14: 329–336.
12. Samiee, M., B. Saghaian., and M. Mahdavi. 2006. Regional Analysis of Drought Intensity (Case study: Tehran Province), Iranian J. Natural Res., 59 (1). 27-39. (in farsi)
13. Thompson, S. A., (1999). Hydrology for water management, Taylor & Francis Group, Rotterdam, Netherlands, 450pp.
14. Tsakiris, G., and H. Vangelis., 2004. Towards a Drought Watch System Based on Spatial SPI, Water Resources management, 18:1-12.
15. Wilhite D.A., and M.H. Glantz., 1985. Understanding the drought phenomenon: the role of definitions. Water International 10: 111–120.

Assessment of the meteorological and hydrological drought adaptation in the Sarab Ali watershed

M. Lashti Zand, B. Parvaneh, K. payamani, A. sephavand

Abstract

The analysis of droughts in the water projects and also investigation on the relationship between climate and hydrological droughts is very important in the management of water resources. Therefore this study has been assessment the meteorological and hydrological drought adaptation from discharge and daily rainfall in the Sarab Seyed Ali watershed during a three-years period. At first for discharge data, the minimum of discharge monthly was calculated for each year, then with the using of Weibull distribution fitted to the data and were extended for a hundred-years period. Then corresponding values with return period of two years each month were selected as the drought threshold index. Threshold values were used for each month of daily data in a period of thirty years and drought severity was calculated based on their continuing. all the above steps were calculated for Precipitation data, With this difference that SPI was used for determining of climate drought index and finally between values of discharge and rainfall correlation was taken with the lag of 1,2,3 days. The obtained results showed that there are moderate and significant relationship between discharge and rainfall in the form of daily, monthly and seasonal and in all three modes, the relationship were enjoyed of significant level but the amount of correlation is more than the rest in the data without lag.

Key words: Hydrological drought, Threshold, Correlation, Sarab Seyed Ali watershed.